

©1995 г.

ПРИМЕНЕНИЕ МЕТОДА СИЛЬНОСИГНАЛЬНОЙ КОНДЕНСАТОРНОЙ ФОТОЭДС ДЛЯ ОПРЕДЕЛЕНИЯ НЕКОТОРЫХ ПАРАМЕТРОВ

С.В. Тихов

Нижегородский государственный университет им. Н.И.Лобачевского,
603600, Нижний Новгород, Россия

(Получена 9 февраля 1994 г. Принята 11 ноября 1994 г.)

Исследована кинетика роста конденсаторной фотоэдс при мощных одиночных импульсах освещения в слоистой полупроводниковой структуре (эпитаксиальная пленка *n*-GaAs)–(полуизолирующий *i*-GaAs). Установлено доминирование барьераного механизма возникновения фотоэдс. Экспериментальные данные объяснены на основе модели, обычно применяемой для анализа результатов измерения вентильной фотоэдс на барьеере. Показана возможность определения энергетической диаграммы структуры и ряда ее параметров, относящихся как к эпитаксиальным пленкам (длина диффузии неосновных носителей заряда, скорость поверхностной рекомбинации), так и к *i*-GaAs (тип проводимости, концентрация носителей заряда).

Известно, что импульсный метод конденсаторной фотоэдс насыщения, которая наблюдается при высоких уровнях освещения $\Phi \gtrsim 10^{18}$ квант/см²·с, используется для контроля потенциала поверхности полупроводника [1], а также для определения энергетического спектра поверхностных состояний в структуре металл–диэлектрик–полупроводник (МДП) [2]. В работах [3,4] для определения контактных потенциалов φ в гетероструктуре AlGaAs/GaAs применен метод измерения вентильной фотоэдс насыщения на одиночном импульсе света. В работе [5] для определения значений φ в структуре *n*-GaAs/*i*-GaAs использованы измерения фотоэдс $\Delta\varphi$ по методу Кельвина при сильном постоянном освещении. Однако методы контроля слоистых структур, описанные в [3–5], имеют ряд существенных недостатков. Недостатками метода [3,4] являются необходимость создания токовых контактов к образцу, а также невозможность применения к слоистым структурам, содержащим полуизолирующие слои. Методу [5] присущи недостатки, связанные с трудностями достижения высоких уровней освещения, необходимых для спрятления потенциальных барьеров без нагрева образца, и с наличием длинновременных процессов, не определяющихся величинами φ в структуре. В настоящей работе показано, что

применение метода конденсаторной фотоэдс на мощных одиночных импульсах света, свободного от указанных недостатков, позволяет определять потенциальную диаграмму слоистой структуры, а также некоторые другие параметры ее слоев (тип проводимости, концентрацию носителей заряда, длину диффузии, скорость поверхностной рекомбинации).

Исследовалась граница между эпитаксиальной пленкой *n*-GaAs и монокристаллом *i*-GaAs, которая является основой многих полупроводниковых приборов и интегральных схем. Пленки *n*-GaAs получены методом МОС-гидридной эпитаксии на поверхности *i*-GaAs марки АГПЧ-3 и ориентации (100). Концентрация равновесных электронов n_0 в пленках варьировалась в пределах $3.3 \cdot 10^{14} \div 10^{19}$ см⁻³. Толщина слоев *d* изменялась в пределах 2.3–8.0 мкм.

Измерения конденсаторной фотоэдс проводились на одиночных импульсах света длительностью 10 мс, получаемых от лампы-вспышки ФШ-107. Фронт светового импульса τ_F был не более 5 мкс, и в пределах до 800 мкс импульс можно было считать прямоугольным. Абсолютные значения потока квантов Φ , который падал на поверхность образца, определялись по характерному времени величины нарастания τ в барьере Шоттки Au/*n*-GaAs при низких уровнях Φ , когда $\Delta\varphi \ll \varphi$. Согласно работе [6],

$$\Phi = C\Delta\varphi/qts. \quad (1)$$

В формуле (1) C — емкость барьера Шоттки, q — заряд электрона, s — площадь барьера Шоттки. Значения Φ ступенчато изменялись с помощью набора нейтральных фильтров в пределах $4.7 \cdot 10^{14} \div 5.0 \times 10^{19}$ квант/см²·с. Для получения импульсов различного спектрального состава использовались светофильтры СС-14 (энергия квантов $h\nu \gtrsim 2.5$ эВ, коэффициент поглощения в GaAs $\alpha \gtrsim 10^5$ см⁻¹) и КС-2 ($h\nu \lesssim 1.8$ эВ, средний коэффициент поглощения $\alpha \simeq 10^4$ см⁻¹), для выделения примесной конденсаторной фотоэдс использовался кремниевый фильтр ($h\nu \lesssim 1.1$ эВ). Для измерения конденсаторной фотоэдс применялся конденсатор с одним прозрачным для света емкостным контактом SnO₂-слюда и металлическим контактом из In. Использовалось планарное (оба контакта прижаты к поверхности пленки, «планарный конденсатор») и объемное расположение контактов (емкостной контакт из SnO₂ прижимался через слюду к поверхности пленки, а металлический из In — к тыльной стороне *i*-GaAs, «объемный конденсатор»). В обоих случаях свет фокусировался на прозрачный контакт, а металлический контакт тщательно затемнялся. Планарное расположение контактов позволяло измерять конденсаторную фотоэдс $\Delta\varphi_1$, возникающую на поверхности пленки [5], если в этом случае использовался свет, который практически поглощался в ней (фильтр СС-14). При объемном расположении контактов величина конденсаторной фотоэдс $\Delta\varphi$ определялась алгебраической суммой фотоэдс, возникающих на барьерах φ_1 (на поверхности пленки), φ_2 (на границе *n*-GaAs/*i*-GaAs) и φ_3 (на тыльной границе *i*-GaAs). В дальнейшем будем определять знак фотоэдс по отношению к контакту с SnO₂. Для выяснения вклада в конденсаторную фотоэдс тыльного барьера применялась постоянная подсветка с тыльной стороны *i*-GaAs гелий-неоновым лазером ЛГ-75

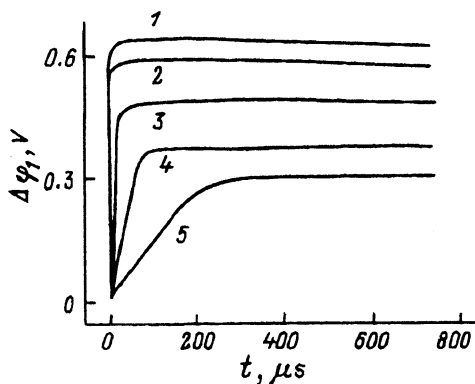


Рис. 1. Зависимость конденсаторной фотоэдс $\Delta\varphi_1$ от времени t в планарном конденсаторе. Освещение через фильтр СС-14; Φ , квант/ $\text{см}^2\cdot\text{s}$: 1 — $4.0 \cdot 10^{19} \div 2.0 \cdot 10^{19}$, 2 — $3.2 \cdot 10^{18}$, 3 — $4.4 \cdot 10^{16}$, 4 — $3.2 \cdot 10^{15}$, 5 — $8.0 \cdot 10^{14}$.

($\alpha \approx 4 \cdot 10^4 \text{ см}^{-1}$). Измерения конденсаторной фотоэдс осуществлялись по методике, изложенной в работе [12]. С помощью запоминающего осциллографа С1-8 регистрировалась кинетика нарастания конденсаторной фотоэдс при освещении.

На рис. 1 показаны зависимости $\Delta\varphi_1$ от времени t для высокоомной эпитаксиальной пленки ($n_0 \approx 8 \cdot 10^{14} \text{ см}^{-3}$), измеренные при разных значениях Φ в планарном конденсаторе. Анализ этих кривых показал, что величина $\Delta\varphi_1 > 0$ и линейно растет со временем в значительном временном интервале, начиная с $t = 0$. Время нарастания сигнала τ_1 определялось на уровне 0.7 от стационарного значения $\Delta\varphi_{1s}$ и изменялось обратно пропорционально величине Φ . Стационарная величина $\Delta\varphi_{1s}$ была пропорциональна $\ln \Phi$. При больших Φ достигалось насыщение зависимости $\Delta\varphi_{1s}(\Phi)$ (рис. 2, кривая 1) на величине $\Delta\varphi_{1ss} \approx \varphi_1$. Наличие протяженного линейного участка в зависимости $\Delta\varphi_1(t)$, характерного для безынжекционного барьера механизма образования фотоэдс; линейной зависимости τ_1 от $1/\Phi$, а также совпадение значений Φ , определенных по $\tau = \tau_1$ в соответствии с формулой (1) для поверхности пленки и для барьера Шоттки, свидетельствуют о преимуществе барьера в возникновении $\Delta\varphi_1$, согласно [6].

Измерения в объемном конденсаторе для того же образца обнаружили, кроме положительной, отрицательную конденсаторную фотоэдс $\Delta\varphi_{23}$ (рис. 3), которая также практически линейно увеличивалась с ростом t на начальном временном отрезке и при одинаковом уровне Φ была значительно инерционней первой со временем нарастания $\tau_2 \gg \tau_1$. Экстраполированные к $t = 0$ значения $\Delta\varphi_{23}$ достигали насыщения с ростом Φ и оказывались равными $\Delta\varphi_{23s} \approx 0.62 \text{ В}$. Таким образом, величина $\Delta\varphi > 0$ в объемном конденсаторе определяется разделением пар на барьере φ_1 . Величина $\Delta\varphi_{23} < 0$ насыщалась с ростом t и Φ и принимала максимальное значение $\Delta\varphi_{23s} \approx -0.78 \text{ В}$. Наряду с наличием в зависимости $\Delta\varphi_{23} < 0$ от t линейного участка и с зависимостью $\tau_2 \sim 1/\Phi$ не наблюдалось также заметного вклада фотоэдс Дембера от подложки i -GaAs в суммарную величину $\Delta\varphi$ из-за фильтрующего

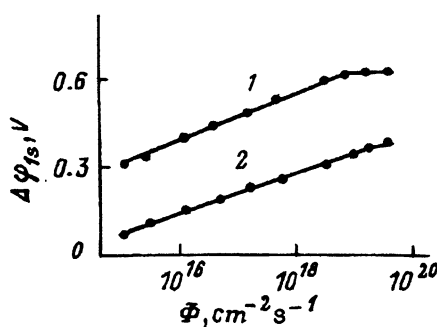


Рис. 2. Зависимость конденсаторной фотоэдс $\Delta\varphi_{1s}$ от потока квантов Φ ; n_0 , см^{-3} : 1 — $8.0 \cdot 10^{14}$, 2 — $2.3 \cdot 10^{17}$.

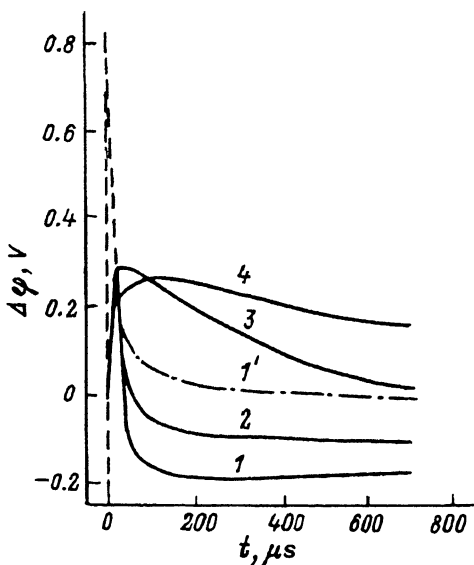


Рис. 3. Зависимость конденсаторной фотоэдс $\Delta\varphi$ от времени t в объемном конденсаторе. Освещение через фильтр СС-14, Φ , квант/см²·с: 1 — $2.0 \cdot 10^{19} \div 4.0 \cdot 10^{19}$, 2 — 10^{19} , 3 — $7.6 \cdot 10^{17}$, 4 — $1.6 \cdot 10^{17}$; 1' — подсветка со стороны подложки лазером ЛГ-56. Штриховой линией показана экстраполяция к $t = 0$ зависимостей $\Delta\varphi(t)$ из области $\Delta\varphi < 0$.

действия эпитаксиальной пленки, т.е. величина $\Delta\varphi_{23} < 0$ также в основном имеет барьерную природу. Постоянная подсветка со стороны i -GaAs уменьшала значение $\Delta\varphi_{23s}$ до значения $\Delta\varphi_{2s} \approx -0.6$ В. С учетом этих фактов значение высоты барьера для образца с высокомонной эпитаксиальной пленкой составили $\varphi_1 \approx 0.62$ В, $\varphi_2 \approx -0.6$ В и $\varphi_3 = \Delta\varphi_{23s} - \Delta\varphi_{2s} \approx -0.18$ В.

Измерения конденсаторной фотоэдс при освещении через Si-фильтр (рис. 4) показали наличие только составляющей $\Delta\varphi'_{23} < 0$, объясняющейся возникновением электронно-дырочных пар в i -GaAs в области примесного освещения. Максимальное значение $\Delta\varphi'_{23s} \approx -0.4$ В. Разность $\chi = \Delta\varphi_{23s} - \Delta\varphi'_{23s} \approx -0.38$ В дает часть значения высоты барьера φ_2 , формирующуюся в эпитаксиальной пленке, а разность $\varphi_2 - \chi \approx -0.22$ В — в i -GaAs.

При известных значениях n_0 , φ_1 , φ_2 и φ_3 легко построить равновесную энергетическую диаграмму структуры и определить положение уровня Ферми $E_c - F$ в i -GaAs, т.е. тип проводимости и концентрации электронов n_i и дырок p_i в полуизолятore. Для приборных структур, содержащих на поверхности i -GaAs проводящую эпитаксиальную пленку, этот способ контроля подложки представляется весьма цен-

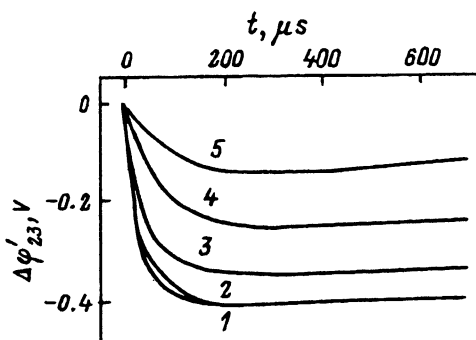


Рис. 4. Зависимость $\Delta\varphi'_{23}(t)$ в объемном конденсаторе. Освещение через Si-фильтр, Φ , квант/см²·с: 1 — 10^{17} , 2 — $4.8 \cdot 10^{16}$, 3 — $2.7 \cdot 10^{16}$, 4 — $8.1 \cdot 10^{15}$, 5 — $1.9 \cdot 10^{15}$.

ным, так как другие традиционно применяемые методы (эффект Холла, термоэдс, метод вольт-фарадных характеристик) по разным причинам в этом случае мало эффективны. Между тем известно, что в процессе нанесения эпитаксиального слоя параметры подложки *i*-GaAs могут изменяться вплоть до смены знака проводимости [7]. Параметры *i*-GaAs, определенные из равновесной энергетической диаграммы для трех образцов, различающихся значениями толщины *d* и концентрации *n₀*, приведены в таблице. Значения удельного сопротивления *ρ_i*, рассчитывались для значений подвижности электронов $μ_n \simeq 3000 \text{ см}^2/\text{В·с}$ и дырок $μ_p \simeq 500 \text{ см}^2/\text{В·с}$ [7]. Из таблицы следует, что в образцах с относительно толстым эпитаксиальным слоем наблюдается *p*-тип проводимости, а в образах с относительно тонкой пленкой — *n*-тип. В то же время значения *ρ_i*, полученные при этом, были типичными для полуизолирующего GaAs. Последний результат можно рассматривать как дополнительное подтверждение доминирование барьера механизма возникновения конденсаторной фотоэдс в исследованных структурах.

Некоторые параметры исследованных структур *n*-GaAs/*i*-GaAs

№ обр.	Эпитаксиальная пленка <i>n</i> -GaAs			Подложка <i>i</i> -GaAs			
	<i>d</i> , мкм	<i>n₀</i> , см ⁻³	<i>l_p</i> , 10 ⁻⁴ см	<i>E_c</i> — <i>F</i> , эВ	<i>n_i</i> , см ⁻³	<i>p_i</i> , см ⁻³	<i>ρ_i</i> , Ом·см
1	6.7	$8.0 \cdot 10^{14}$	0.7	0.78		$2.0 \cdot 10^8$	$6.0 \cdot 10^7$
2	8.0	$3.3 \cdot 10^{14}$	0.9	0.78		$2.0 \cdot 10^8$	$6.0 \cdot 10^7$
3	2.3	$2.1 \cdot 10^{17}$	1.0	0.60	$3.1 \cdot 10^7$		10^8

Для барьера механизма естественно считать, что наблюдающееся на опыте различие времен нарастания конденсаторной фотоэдс на барьерах $φ_1$ и $φ_2$ при одинаковых значениях $Φ$ определяется разной концентрацией разделяемых на них пар [6]. На внутреннем барьере эта концентрация оказывается меньше из-за поглощения части фотонов и рекомбинации носителей в эпитаксиальном слое. В исследованных структурах толщина барьера $ω \ll d$ и при сильно поглощаемом освещении (фильтр СС-14) $1/a \gg d$. В этом случае различие времен $τ_1$ и $τ_2$ определяется в основном рекомбинацией носителей в пленке и, следовательно, длиной диффузии неосновных носителей l_p в ней. Это обстоятельство позволяет предложить простой метод оценки l_p , основанный на измерениях $τ_1$, $τ_2$ или скоростей нарастания конденсаторных фотоэдс $Δφ'_1$ и $Δφ'_2$ на линейных участках кинетики. Известно, что вентильная фотоэдс на барьере описывается выражением

$$Δφ = ηkT/q \ln(BI_L + 1), \quad (2)$$

где I_L — ток короткого замыкания, $η$ и B — некоторые постоянные, определяющиеся природой барьера. Из работы [6] следует, что для тока на переднем барьере при низких уровнях $Φ$, когда $Δφ \ll φ$, можно записать

$$I_{L1} = C_1 Δφ_1 / τ_1, \quad (3)$$

где C_1 — емкость барьера $φ_1$. Для барьера $φ_2$ аналогично будем иметь

$$I_{L2} = C_2 Δφ_2 / τ_2, \quad (4)$$

где C_2 — емкость барьера φ_2 . Полагая, что токи I_{L1} и I_{L2} различаются только из-за рекомбинации в эпитаксиальном слое, запишем

$$I_{L2} = I_{L1} \exp(-d/l_p). \quad (5)$$

Из (3)–(5) получается простая формула для оценки величины l_p , без учета условий на границах пленки в предположении близости значений C_1 и C_2 :

$$l_p = d / \ln(\Delta\varphi_1\tau_2 / \Delta\varphi_2\tau_1). \quad (6)$$

При тех же предположениях можно показать, что

$$l_p = d / \ln(\Delta\varphi'_1 / \Delta\varphi'_2). \quad (7)$$

Для повышения точности определения значений τ и $\Delta\varphi'$ они измерялись для барьера φ_1 в планарном конденсаторе (рис. 1), а для φ_2 — в объемном (рис. 3). Оценка l_p по формулам (6) и (7) дала одинаковый результат. Однако использование (7) оказалось предпочтительным, так как протяженность линейного участка в зависимости $\Delta\varphi(t)$ увеличивается с ростом Φ , что позволяет определять $\Delta\varphi'_1$ и $\Delta\varphi'_2$ из одной релаксационной кривой для объемного конденсатора и не ограничиваться случаем относительно низких уровней освещения.

Определенные предлагаемым способом значения l_p приведены в таблице для пленок с разными значениями d и n_0 . Видно, что они изменились в интервале $0.7 \div 1.0$ мкм. Несмотря на ряд сделанных упрощений, эти значения практически совпадают со значениями l_p , измеренными в образцах 1–3 методом Гудмана [8], и согласуются с литературными данными [9]. В гетероструктурах AlGaAs/GaAs также удается определить значение l_p в пленке AlGaAs описанным способом, что, вероятно, свидетельствует о его универсальности.

Формула (2) и использованный для определения l_p подход, строго говоря, применимы только для анализа результатов измерения вентильной фотоэдс. Однако в работе [10] показана возможность такого подхода для анализа результатов измерений конденсаторной фотоэдс на поверхности полупроводника. Модель, развитая в [10], состоит в том, что вводятся две подсистемы носителей заряда, которые характеризуются различными квазиуровнями Ферми. Для массивного полупроводника n -типа это электроны массива полупроводника и электроны поверхностных состояний. Измерение потенциала поверхности при освещении в этом случае определяется разностью квазиуровней Ферми этих подсистем. В работе [11], кроме того, полагается, что на поверхности n -GaAs квазиуровень Ферми электронов для подсистемы поверхностных состояний совпадает с уровнем зарядовой нейтральности E_N состояний донорного и акцепторного типа [12]. Формула, полученная в [10] для конденсаторной фотоэдс, аналогична формуле для вентильной фотоэдс барьера Шоттки, однако в нее вместо дрейфовой скорости u_d входит скорость поверхностной рекомбинации S . Используя результаты работы [10], можно получить выражение для стационарной конденсаторной фотоэдс полубесконечного полупроводника в виде

$$\Delta\varphi_{1s} = \varphi_1 - \frac{kT}{q} \ln \frac{S n_0}{\Phi} \left[1 - \frac{\exp(-\alpha\omega)}{1 + \alpha l_p} \right]^{-1}. \quad (8)$$

В работе [11] получена зависимость φ_1 от n_0 следующего вида:

$$q\varphi_1/kT = (1/4)(n_0 L_D / \bar{g}_{ss} kT)^2 + (E_c - E_N)/kT + \ln(n_0/N_c) - n_0 L_D / \bar{g}_{ss} kT \times \\ \times \left[(E_c - E_N)/kT + \ln(n_0/N_c) + (1/4)(n_0 L_D / \bar{g}_{ss} kT)^2 \right]^{1/2}, \quad (9)$$

где $L_D = (2\varepsilon_0 \varepsilon_s kT / q^2 n_0)^{1/2}$ — дебаевская длина экранирования в пленке, \bar{g}_{ss} — средняя плотность поверхностных состояний.

Измерения, сделанные в данной работе, обнаружили аномально сильную зависимость максимальной конденсаторной фотоэдс ($\Delta\varphi_{1s}^M$) от n_0 (рис. 5, кривая 1), которую удалось описать теоретически для случая невырожденного полупроводника с помощью соотношений (8) и (9). Необходимость использования (8) диктовалась отсутствием насыщения $\Delta\varphi_{1s}^M$ при больших значениях Φ для пленок с $n_0 > 5 \cdot 10^{15} \text{ см}^{-3}$ (рис. 2, кривая 2), которое следует из (8) при $S n_0 > \Phi$. Однако только формулой (8) нельзя описать столь резкое уменьшение $\Delta\varphi_{1s}^M$ с ростом n_0 , так как при достаточно больших n_0 величина S оказывается много больше u_d , чего не может быть. Для описания экспериментальной зависимости пришлось отказаться от модели жесткого закрепления уровня Ферми на поверхности пленки. При таком закреплении величина φ_1 должна была увеличиваться с ростом n_0 (рис. 5, кривая 2). Оставалась возможность описания зависимости $\Delta\varphi_{1s}^M(n_0)$ за счет уменьшения φ_1 с ростом n_0 , которое предсказывается соотношением (9), для относительно невысокой плотности поверхностных состояний на поверхности n -GaAs [11]. Положив $\bar{g}_{ss} \simeq 2 \cdot 10^{12} \text{ см}^{-2} \cdot \text{эВ}^{-1}$ [11] и $E_N \simeq 0.8 \text{ эВ}$ и используя (9), получим зависимость $\varphi_1(n_0)$, показанную на рис. 5, кривой 3. Из сравнения кривых 3 и 1 на этом рисунке видно, что при $n_0 > 10^{15} \text{ см}^{-3}$ значения $\Delta\varphi_{1s}^M$ меньше рассчитанных значений φ_1 . Это расхождение можно объяснить недостаточным для спрямления зон

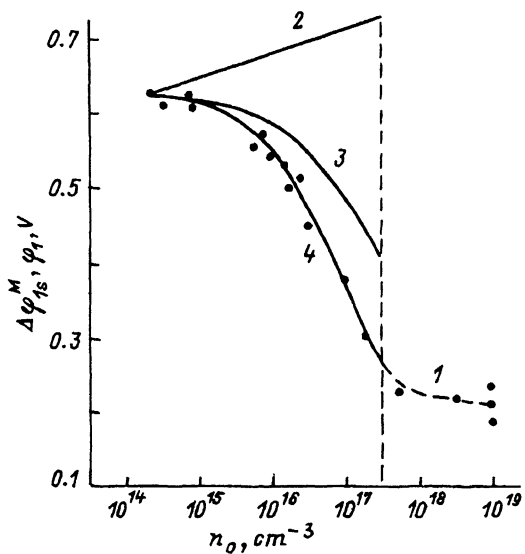


Рис. 5. Зависимости $\Delta\varphi_{1s}^M$ и φ_1 от концентрации n_0 . Точки и штриховая линия 1 — экспериментальная зависимость $\Delta\varphi_{1s}^M(n_0)$, освещение через фильтр КС-2, $\Phi = 5 \cdot 10^{19}$ квант/ $\text{см}^2 \cdot \text{с}$. Теоретические зависимости: 2 — $\varphi_1(n_0)$ при жестком закреплении уровня Ферми; 3 — $\varphi_1(n_0)$ при $\bar{g}_{ss} \simeq 2 \cdot 10^{12} \text{ см}^{-2} \cdot \text{эВ}^{-1}$, $E_N \simeq 0.8 \text{ эВ}$; 4 — $\Delta\varphi_{1s}^M(n_0)$ при тех же значениях \bar{g}_{ss} , E_N , $S \simeq 3.6 \cdot 10^4 \text{ см}/\text{с}$.

уровнем инжекции для относительно проводящих пленок. Учитывая это, из состояния (8) при $\Delta\varphi_{1s}^M = \varphi_1$ получим

$$S = \frac{\Phi}{n_0} \left[1 - \frac{\exp(-\alpha\omega)}{1 + \alpha l_p} \right]. \quad (10)$$

Соотношение (10) дает возможность оценить значение S , если известны значения ω , l_p и α . Значения Φ и n_0 , фигурирующие в (10), найдем из кривой 1 на рис. 5, как значения, соответствующие началу насыщения $\Delta\varphi_{1s}^M$ при малых n_0 . Зависимость $\Delta\varphi_{1s}^M(n_0)$ получена с использованием фильтра КС-2, поэтому положим $\alpha \simeq \bar{\alpha} \simeq 10^{-1} \text{ см}^{-1}$. Значение l_p возьмем порядка 1 мкм. Толщину ω определим по формуле $\omega = (\varepsilon_0 \varepsilon_s \varphi_1 / q n_0)^{1/2}$, где $n_0 \simeq 10^{15} \text{ см}^{-3}$ и $\varphi_1 \simeq 0.6 \text{ В}$. Таким образом из (10) получим $S \simeq 3.6 \cdot 10^4 \text{ см}/\text{с}$. Тогда, подставив в (8) значения φ_1 , определенные ранее для каждого n_0 по формуле (9), найдем теоретическую зависимость $\Delta\varphi_{1s}^M(n_0)$ при $S \simeq 3.6 \cdot 10^4 \text{ см}/\text{с}$. Эта зависимость приведена на рис. 5 (кривая 4). Из рисунка видно, что она практически совпадает с экспериментальной. Последний результат можно рассматривать как подтверждение правомерности применения модели, отличающей подсистемы электронов на поверхностных состояниях и в слоях полупроводника [10, 11], для анализа результатов измерений конденсаторной фотоэдс в слоистых структурах на основе GaAs.

Автор выражает благодарность Б.И.Бедному и А.П.Касаткину за обсуждение работы и полезные советы.

Список литературы

- [1] В.А. Зуев, А.В. Саченко, Н.Б. Толпиго. *Неравновесные приповерхностные процессы в полупроводниках и полупроводниковых приборах* (М., 1977).
- [2] А.Я. Вуль, Н.В. Санин, В.И. Федоров, Р.Ю. Хансеваров, Ю.В. Шмарцев. Письма ЖТФ, 5, 930 (1979).
- [3] В.И. Поляков, П.И. Перов, М.Г. Ермаков, О.И. Ермакова, В.И. Сергеев. Микроэлектроника, 5, 565 (1987).
- [4] В.И. Поляков, П.И. Перов, М.Г. Ермаков. А.С. СССР № 1001236 (1981).
- [5] Б.И. Бедный, А.Н. Калинин, А.Н. Савинов. Изв. вузов СССР. Физика, 8, 109 (1987).
- [6] А.А. Быковников, О.В. Иванова, О.В. Константинов, Т.В. Львова, О.А. Мезрин. ФТП, 18, 1256 (1984).
- [7] Полуизолирующие соединения $A^{III}B^V$ (М., 1984).
- [8] A.J. Codman. J. Appl. Phys., 32, 2550 (1961).
- [9] Zhang Sheughao. J. Appl. Phys., 67, 272 (1990).
- [10] О.В. Константинов, Е.В. Царенков. ФТП, 24, 2126 (1990).
- [11] Б.И. Бедный. Поверхность. Физика, химия, механика, 10, 58 (1993).
- [12] H. Hasegawa, H. Ohno. J. Vac. Sci. Technol., 4, 1130 (1986).

Редактор Т.А. Полянская